

УДК 621.438
Р 69

ОБОБЩЕННАЯ МАТЕМАТИЧЕСКАЯ МОДЕЛЬ ГАЗОВОЙ ТУРБИНЫ И ГАЗОДИНАМИЧЕСКИХ СОПРОТИВЛЕНИЙ НА ЧАСТИЧНЫХ РЕЖИМАХ

Г. Ф. Романовский, д-р техн. наук, проф. ;
А. А. Тарасенко, асп.

Национальный университет кораблестроения, г. Николаев

Аннотация. Приведена методика построения обобщенных характеристик турбины и устройств типа «газодинамическое сопротивление» на основе использования газодинамических функций и общих соотношений. Предложена новая мнемоническая модель турбины. Дана трактовка характеристик рассматриваемых элементов газотурбинного двигателя.

Ключевые слова: турбина, газодинамическое сопротивление, газодинамические функции, характеристики, модель турбины, экспериментальное подтверждение.

Анотація. Наведено методику побудови узагальнених характеристик турбіни й пристроїв типу «газодинамічний опір» на основі використання газодинамічних функцій і загальних співвідношень. Запропоновано нову мнемонічну модель турбіни. Подано трактування характеристик елементів газотурбінного двигуна, що розглядаються.

Ключові слова: турбіна, газодинамічний опір, газодинамічні функції, характеристики, модель турбіни, експериментальне підтвердження.

Abstract. The method of construction of turbine general characteristics and devises of gas-dynamic resistance type on the basis of usage of gas-dynamic function and general relations is introduced. New mnemonic turbine model is performed. The interpretation of gas turbine engine elements characteristics, which are under consideration are shown.

Keywords: turbine, gas-dynamic resistance, gas-dynamic functions, characteristics, turbine model, experimental verification.

ПОСТАНОВКА ПРОБЛЕМЫ

При анализе частичных режимов работы газотурбинного двигателя (ГТД) и процесса запуска важно знать характеристики элементов ГТД. При расчете параметров процесса запуска характеристики требуются в начале диапазона, и однолинейные характеристики турбины для этой цели непригодны. Существующие методики неудобны для реализации с помощью вычислительной

техники и в них затруднительно использовать при расчетах в начале диапазона экспериментальные данные, полученные на режимах, близких к номинальному.

АНАЛИЗ ПОСЛЕДНИХ ИССЛЕДОВАНИЙ И ПУБЛИКАЦИЙ

В работах [2, 3] приведены методики, позволяющие получить характеристики элементов ГТД. Эти методики

не предназначены для использования в вычислительной технике. Они базируются на использовании экспериментальных данных, что накладывает ограничения на применение и делает невозможным использование конкретных экспериментальных данных для рассматриваемого двигателя. На практике для конкретного двигателя требуется специальное исследование, например работа [1].

ЦЕЛЮЮ ИССЛЕДОВАНИЯ является разработка методик, которые основываются на общих теоретических результатах и позволяют с помощью вычислительной техники получить характеристики элементов газотурбинного двигателя во всем диапазоне их работы.

ИЗЛОЖЕНИЕ ОСНОВНОГО МАТЕРИАЛА

Характеристика *устройств типа «газодинамическое сопротивление»* представлена в виде зависимости от параметров номинального режима и параметра расхода на рассматриваемом частичном режиме [1–3].

В экспериментальной газодинамике потери полного давления в устройстве оцениваются с помощью следующего выражения [2]:

$$\Delta P^* = P_1^* - P_2^* = \xi \cdot \frac{\rho_1 \cdot V_1^2}{2},$$

где P_1^* — полное давление на входе в устройство; P_2^* — полное давление на выходе из устройства; ξ — коэффициент потерь в устройстве; ρ_1, V_1 — плотность и скорость газа на входе в устройство соответственно.

При исследовании газотурбинных двигателей потери оценивают коэффициентом восстановления полного давления $v = P_2^*/P_1^* = 1 - \xi \cdot \frac{\rho_1 \cdot V_1^2}{2 \cdot P_1^*}$.

Используя газодинамические функции, это выражение можно преобразовать к виду

$$1 - v = \xi \left(\frac{2}{k+1} \right)^{\frac{k}{k-1}} \frac{q_{in}^2}{\bar{\varepsilon}}, \quad (1)$$

где q_{in}, ε — газодинамические функции, причем $\bar{\varepsilon} = \varepsilon(\lambda)/\varepsilon(1)$; k — показатель адиабаты.

С помощью выражения (1) для случая критического истечения можно записать

$$1 - v_{кр} = \xi \left(\frac{2}{k+1} \right)^{\frac{k}{k-1}}, \quad (2)$$

где $v_{кр}$ — степень восстановления полного давления при критическом истечении.

Тогда степень восстановления полного давления на частичном режиме можно определить из следующего выражения:

$$1 - v = (1 - v_{кр}) \frac{q_{in}^2}{\bar{\varepsilon}}. \quad (3)$$

Для построения характеристик элементов ГТД [1–3] используют параметр расхода

$$g = \frac{G \cdot \sqrt{T}}{P}, \text{ или}$$

$$\bar{g} = \frac{g}{g_n} = \frac{G \cdot \sqrt{T}}{P} \cdot \frac{P_n}{G_n \cdot \sqrt{T_n}} = \frac{q}{q_n} = \bar{q}, \quad (4)$$

где \bar{g} — отношение параметра расхода к этому же параметру на номинальном режиме.

Из приведенного выше соотношения следует, что $q = \bar{g} \cdot q_n$. Рассмотрев (4) для номинального и частичного режимов, получим

$$v = 1 - (1 - v_n) \cdot \bar{g}_n^2 \cdot \frac{\varepsilon(\lambda_n)}{\varepsilon(\lambda)}. \quad (5)$$

С помощью выражения (5) получены графики на рис. 1.

Из рис. 1 видно слабое влияние λ_n на зависимость $v = v(\bar{g}_n)$. Поэтому на практике часто полагают $\varepsilon(\lambda_n)/\varepsilon(\lambda) = 1$ и пользуются приближенной формулой [4]:

$$v = 1 - (1 - v_n) \cdot \bar{g}_n^2.$$

При расчетах, результаты которых приведены на рис. 1, по известной λ_n вначале вычислялось $q_{in}(\lambda_n)$, а затем для требуемого \bar{g}_n отыскивались $q_{in}(\lambda) = \bar{g}_n \cdot q_{in}(\lambda_n)$ и λ .

Параметр, аналогичный \bar{g}_n , можно рассмотреть на выходе из устройства.

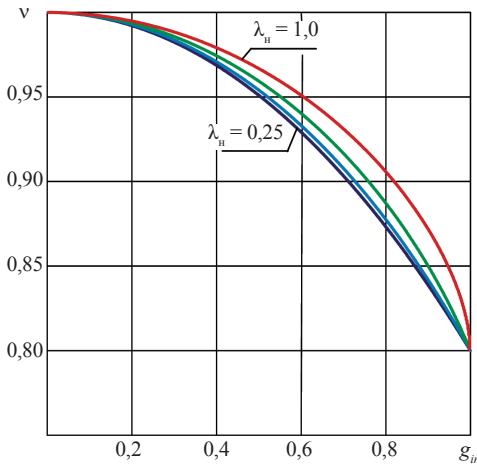


Рис. 1. Зависимость $v = v(\bar{g}_{in})$ для $v_n = 0,8$ при $\lambda_n = 1,00; 0,75; 0,50$ и $0,25$

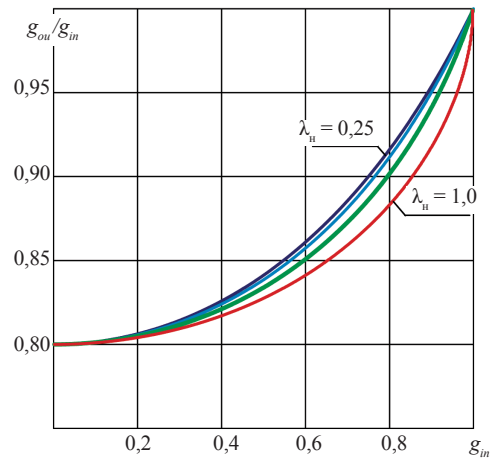


Рис. 2. Зависимость $\bar{g}_{ou}/\bar{g}_{in} = v_n/v = f(\bar{g}_{in})$ для $v_n = 0,8$ при $\lambda_n = 1,00; 0,75; 0,50$ и $0,25$

Обозначим его через \bar{g}_{ou} . Учитывая $P_2 = P_1 \cdot v$ и $P_{2n} = P_{1n} \cdot v_n$, запишем

$$\begin{aligned} \bar{g}_{ou} &= \frac{G \cdot \sqrt{T_1}}{P_2} \cdot \frac{P_{2n}}{G_n \cdot \sqrt{T_{1n}}} = \\ &= \frac{v_n}{v} \cdot \frac{G \cdot \sqrt{T_1}}{P_1} \cdot \frac{P_{1n}}{G_n \cdot \sqrt{T_{1n}}} = \frac{v_n}{v} \cdot \bar{g}_{in}, \end{aligned}$$

тогда

$$\frac{\bar{g}_{ou}}{\bar{g}_{in}} = \frac{v_n}{v}. \quad (6)$$

Из выражения (6) следует, что характеристика устройства может быть задана зависимостью $\bar{g}_{ou}/\bar{g}_{in} = v_n/v = f(\bar{g}_{in})$, показанной на рис. 2, или зависимостью $\bar{g}_{ou}(\bar{g}_{in})$, построенной на рис. 3.

Зависимости на рис. 1–3 могут быть вычислены согласно [6] с помощью выражения (5). Если известно отношение $\bar{g}_{ou}(\bar{g}_{in})$, то согласно (6) коэффициент $v = v_n / (\bar{g}_{ou}/\bar{g}_{in})$. Следует отметить, что при $\bar{g}_{in} = 0$ отношение (6) будет стремиться к v_n , что видно на рис. 2, на котором приведены функции $\bar{g}_{ou}/\bar{g}_{in} = v_n/v = f(\bar{g}_{in})$. Действительно, при отсутствии расхода, т. е. когда $\bar{g}_{in} = 0$, сопротивления нет и $v = 1$, а соотношение $v_n/v = v_n$.

Разработанная методика позволяет получить характеристику, аналогичную

рис. 2, для любого значения v_n и λ_n в дозвуковой области.

При сравнении рис. 2 и рис. 3 может показаться, что представление информации на рис. 2 более содержательно. Но в случае применения вычислительной техники форма рис. 3 более универсальна. Требуемая точность при применении вычислительной техники вполне достижима.

Применим зависимости (1–6) для получения *характеристик турбин*. В работе [2] подчеркнута, что параметр

$$\text{расхода через турбину } g_{in} = \frac{G_{in} \sqrt{T_{in}^*}}{P_{in}^*}$$

$$\text{определяется отношением } x = \frac{\pi_\tau - 1}{\pi_{\tau, \text{кр}} - 1},$$

где $\pi_\tau = P_{in}^*/P_{ou}^*$ — степень понижения давления в турбине по полным параметрам — отношение полного давления на входе к полному давлению на выходе — аналог v в выражении (1); $\pi_{\tau, \text{кр}}$ — критическая степень понижения давления для данной турбины. Данные экспериментов [2] показаны на рис. 4.

Рассматривая турбину как элемент типа «газодинамическое сопротивление», по аналогии с выражением (1) запишем

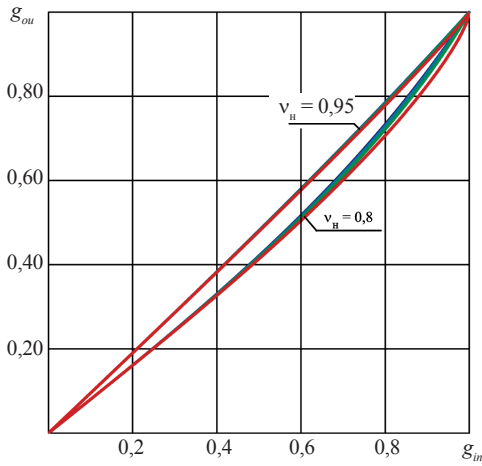


Рис. 3. Зависимость $\bar{g}_{ou}(\bar{g}_{in})$ для $v_n = 0,95$ и $0,80$ при $\lambda_n = 1,00; 0,75; 0,50$ и $0,25$

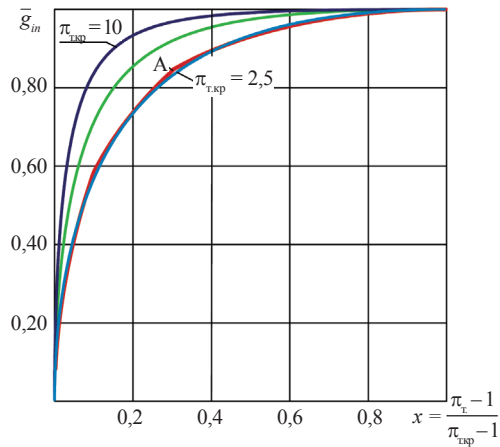


Рис. 4. Сравнение экспериментальных данных [2] с расчетом для $\pi_{t,cr} = 2,5; 5,0; 10,0$. А — аппроксимация экспериментальных данных согласно [2]

$$1 - \frac{1}{\pi_t} = \xi \frac{k}{2} \left(\frac{2}{k+1} \right)^{\frac{k}{k-1}} \frac{q^2}{\bar{\epsilon}} \quad (7)$$

Для случая критического истечения выражение (7) можно по аналогии с выражением (2) переписать в следующем виде:

$$1 - \frac{1}{\pi_{t,cr}} = \xi \frac{k}{2} \left(\frac{2}{k+1} \right)^{\frac{k}{k-1}} \quad (8)$$

Подставив (8) в (7), получим выражение, аналогичное (3):

$$1 - \frac{1}{\pi_t} = \left(1 - \frac{1}{\pi_{t,cr}} \right) \frac{q^2}{\bar{\epsilon}} \quad (9)$$

Сравнительные расчеты по формуле (9) с экспериментальными данными [2] показаны на рис. 4, из которого видно хорошее совпадение результатов расчета с экспериментом для $\pi_{t,cr} = 2,5$. Следует отметить, что согласно [2] для двухступенчатой турбины $\pi_{t,cr} = 2,5$. Для больших $\pi_{t,cr}$ совпадение не столь удовлетворительное. Это можно объяснить тем, что при получении формулы (9) считалось, что элемент типа «газодинамическое сопротивление» находится на входе турбины. С этим можно согласиться для турбин с малой $\pi_{t,cr}$.

Будем далее полагать, что сопротивление находится на выходе из турбины и входные (условные) параметры для него определены с учетом адиабатического КПД турбины η следующим выражением:

$$g_y = g_{in} \sqrt{1 - \left(1 - \frac{1}{\pi_t^{\frac{k-1}{k}}} \right) \eta} \quad (10)$$

Графики рис. 4 и 5 могут служить экспериментальным подтверждением выражений (9) и (3), которое можно применять для переходников, газоотводов и воздухоподводящих устройств.

Из графиков на рис. 5, полученных с учетом выражения (10), видно удовлетворительное совпадение с экспериментальными данными для широкого диапазона $\pi_{t,cr}$. Следует подчеркнуть, что все графики на рис. 5 построены при постоянном КПД $\eta = 0,9$. При приближении к критическому режиму КПД будет падать и для больших π_t совпадение с экспериментом будет несколько лучше.

График рис. 3 позволяет обосновать нелогичную на первый взгляд *мнемоническую схему газовой турбины*, при

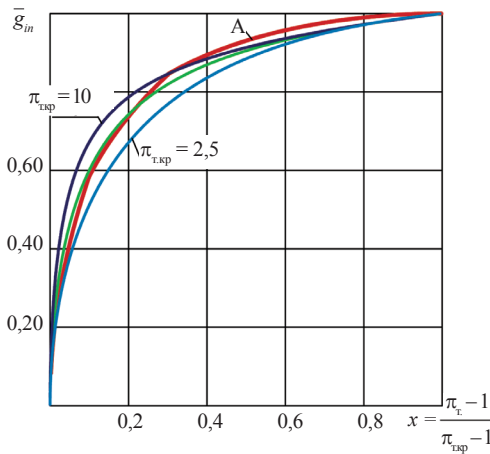


Рис. 5. Сравнение экспериментальных данных [2] с расчетом для $\pi_{т,кр} = 2,5; 5,0; 10,0$ и $\eta = 0,9$: А — аппроксимация экспериментальных данных согласно [2]

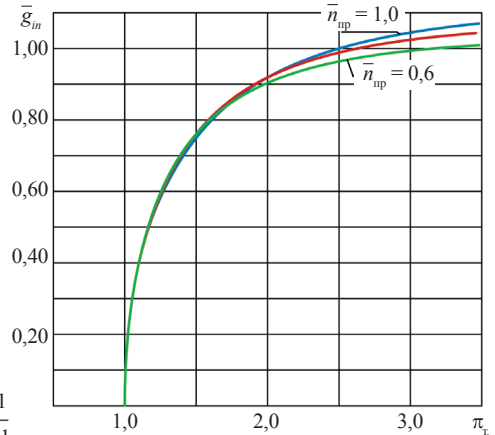


Рис. 6. Характеристика турбины с $\pi_{т,кр} = 5$ для $n_{пр} = 0,6; 0,8$ и $1,0$

которой элемент типа «газодинамическое сопротивление» находится на выходе из газовой турбины после преобразователя энергии и на параметры потока, поступающего в этот элемент типа «газодинамическое сопротивление», существенно влияет адиабатический КПД турбины.

Для построения характеристики турбины нужно определиться с ее адиабатическим КПД. Большинство авторов единодушны в том, что определяющее влияние на КПД турбины оказывает отношение u/c , точнее \bar{u}/\bar{c} . Удобно заменить этот параметр отношением $z = \bar{\lambda}_u / \bar{\lambda}_c$. В этих отношениях u — окружная скорость, а $c = c_{ад}$ — скорость на выходе из турбины при адиабатическом расширении [2, 3]. Для вычисления параметра z достаточно вычислить $\bar{\lambda}_u$ и $\bar{\lambda}_c$. Очевидно $\bar{\lambda}_u = \bar{n}_{пр} = \frac{\bar{n}}{\sqrt{T}}$, где $\bar{n}_{пр}, \bar{n}$ — соответственно приведенные и физические обороты [2, 3]. Можно показать, что

$$\lambda_c = \sqrt{1 - \frac{1}{\pi_t^{k-1}}}$$

Для вычисления КПД необходимо знать параметры точки, в которой КПД

максимален, а затем вычислить $\bar{\lambda}_c$ и параметр z , зная который вычисляем КПД согласно рекомендациям [2].

Следует отметить, что для турбин с высокой π_t зона оптимальных режимов сужена и для аппроксимации зависимости КПД от z желательно использовать экспериментальные данные.

В качестве исходных данных для построения характеристики турбины используются параметры в точке максимального КПД: $\pi_{т,эф}, n_{эф,пр}, \eta_{max}$, а также $\pi_{т,кр}$ — критическое понижение давления в турбине. Задача построения характеристик, приведенных на рис. 6 и 7, — это вычисление степени понижения давления в турбине по известной газодинамической функции q или \bar{g}_m на входе в турбину при заданных приведенных оборотах.

На рис. 6 показаны характеристики для турбины с обычной для свободных силовых турбин номинальной $\pi_t = 2,5$. Из него видно, что с уменьшением приведенной скорости вращения на 40%, при номинальном параметре расхода, степень расширения увеличится до 3,2. Это может вызвать проблемы в работе компрессора. Для однокаскадных

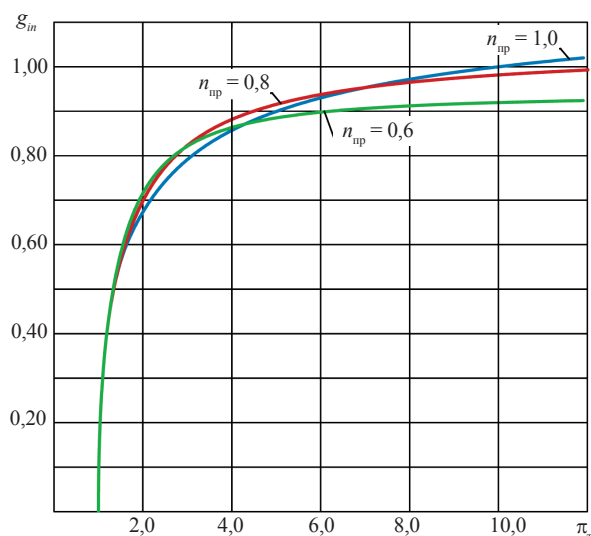


Рис. 7. Характеристика турбины с $\pi_{т.кр} = 20$ для $n_{пр} = 0,6; 0,8$ и $1,0$

машин с номинальной $\pi_t = 10$ характеристика приведена на рис. 7.

Из рис. 7 видно, что при резком уменьшении скорости вращения турбины с высокой π_t возможны проблемы с компрессором. Для построения характеристики в виде изолиний $q_{in} = \text{const}$ можно воспользоваться рекомендациями [5], применив разработанную процедуру

$$\pi_t = \pi_t(q_{in}, \pi_{т.н}, \pi_{т.кр}, \eta).$$

ВЫВОДЫ

1. Предложен новый подход к моделированию характеристик газовой турбины ГТД, когда элемент типа «га-

зодинамическое сопротивление» расположен на выходе, вследствие чего параметры потока, поступающего в этот элемент, существенно зависят от адиабатического КПД турбины.

2. Выявлена взаимосвязь величины потерь полного давления по тракту ГТД при запуске и на частичных режимах и параметра расхода через элемент в виде аналитической зависимости

$$v = 1 - (1 - v_n) \cdot \bar{g}_{in}^2 \cdot \frac{\varepsilon(\lambda_n)}{\varepsilon(\lambda)}$$

3. Разработана методика оценки потерь полного давления по тракту ГТД на частичных режимах, что особенно важно для двигателей сложной схемы.

СПИСОК ИСПОЛЬЗОВАННОЙ ЛИТЕРАТУРЫ

- [1] Муравченко, О. Ф. Поэлементная математическая модель турбовентиляторного двигателя Д-27 [Текст] / О. Ф. Муравченко, А. Н. Хусточка // Авиационно-космическая техника и технология. — 2003. — № 6 (41) — С. 61–64.
- [2] Нечаев, Ю. Н. Теория авиационных газотурбинных двигателей [Текст] / Ю. Н. Нечаев, Р. М. Федоров. — Ч. I. — М.: Машиностроение, 1977. — 312 с.
- [3] Романовський, Г. Ф. Теоретичні основи проектування суднових газотурбінних агрегатів [Текст]: навч. посіб. / Г. Ф. Романовський, М. В. Василенко, С. І. Сербін. — Миколаїв: УДМТУ, 2003. — 304 с.

- [4] **Сорока, Я. Х.** Теория и проектирование газотурбинных двигателей [Текст] : учеб. пособие / Я. Х. Сорока. — Л. : Судостроение, 1982. — 112 с.
- [5] **Тарасенко, А. А.** Применение обобщенных зависимостей для построения характеристик турбин с помощью ЭВМ [Текст] / А. А. Тарасенко // *Авиационно-космическая техника и технология*. — 2010. — № 7 (74). — С. 164–167.
- [6] **Тарасенко, А. А.** Частичные режимы устройства типа газодинамическое сопротивление в судовых ГТД [Текст] / А. А. Тарасенко // *Авиационно-космическая техника и технология*. — 2008. — № 8 (55). — 312 с.